

## บทที่ 4

### ผลการวิเคราะห์ข้อมูล

ตัวเร่งปฏิกิริยาโคบล็อต-โมลิบดินัมบันยะลูมิโน่ ( $\text{Co-Mo}/\text{Al}_2\text{O}_3$ ) ใช้กันอย่างแพร่หลายในปฏิกิริยาไฮโดรเจนชัน ซึ่งในการทดลองนี้ได้นำตัวอย่างมาจากการใช้งานจริงในระบบบำบัดก๊าซไฮเน่า (Claus Process) ซึ่งมีข้อมูลจำเพาะจากผู้ผลิตดังตารางที่ 4.1

ตารางที่ 4.1 คุณสมบัติของตัวเร่งปฏิกิริยา  $\text{Co-Mo}/\text{Al}_2\text{O}_3$  จากบริษัทผู้ผลิต

Appearance	Blue , Gray
Diameter	3-5 mm.
Area	> 200 $\text{m}^2/\text{g}$
Hole holding	>0.35 ml/g
Pile density	0.6-0.7 g/cm <sup>2</sup>
Radial intencity	>120 N/cm

จากตารางที่ 4.1 เป็นคุณสมบัติพื้นฐานของตัวเร่งปฏิกิริยาเท่านั้น ไม่สามารถบอกรายละเอียดที่เกี่ยวกับการใช้งานในปฏิกิริยาจริงได้ ตั้งนั้นในส่วนของการทดลองเพื่อหาคุณลักษณะเฉพาะตัวของตัวเร่งปฏิกิริยาชนิดนี้จะใช้เทคนิค 6 ประเภท ได้แก่ XRF, BET, SEM, XRD, XPS และ Raman Spectroscopy เพื่อวิเคราะห์หาสาเหตุการเสื่อมประสิทธิภาพของตัวเร่งปฏิกิริยา

## 4.1 การหาคุณลักษณะของตัวเร่งปฏิกิริยา (Characterization of the Catalysts)

### 4.1.1 เครื่องอีกซเรย์ฟลูออเรสเซนซ์ (XRF)

ตัวอย่างตัวเร่งปฏิกิริยา Co-Mo/Al<sub>2</sub>O<sub>3</sub> ที่ยังไม่ได้ใช้งาน (Fresh catalyst) และตัวอย่างตัวเร่งปฏิกิริยาชนิดเดียวกันที่ผ่านการใช้งานแล้ว (Used catalyst) ถูกนำมาวิเคราะห์ด้วยเทคนิค XRF เพื่อหาองค์ประกอบภายในตัวเร่งปฏิกิริยา โดยผลการทดลองถูกแสดงในตารางที่ 4.2

ตารางที่ 4.2 องค์ประกอบของตัวเร่งปฏิกิริยา Co-Mo/Al<sub>2</sub>O<sub>3</sub> จากเครื่อง XRF

Sr. No.	Composition	Fresh Catalyst	Used Catalyst
		Result (%)	Result (%)
1	Al <sub>2</sub> O <sub>3</sub>	78.6	78.4
2	MoO <sub>3</sub>	12.1	11.99
3	Co <sub>2</sub> O <sub>3</sub>	3.06	3.13
4	SiO <sub>2</sub>	0.311	0.253
5	Na <sub>2</sub> O	0.196	0.227
6	NiO	0.161	0.14
7	CaO	0.051	0.054
8	Fe <sub>2</sub> O <sub>3</sub>	0.035	0.050
9	K <sub>2</sub> O	0.030	0.036
10	SO <sub>3</sub>	-	2.85
11	CuO	0.0126	0.014
12	ZnO	-	0.015
13	Ca <sub>2</sub> O <sub>3</sub>	0.0135	0.016
14	As <sub>2</sub> O <sub>3</sub>	-	0.004
15	Yb <sub>2</sub> O <sub>4</sub>	0.53	0.0088
16	Other	4.90	2.81
	Total	100.00	99.99

จากตารางที่ 4.2 พบว่าตัวอย่างตัวเร่งปฏิกิริยาหั้งของใหม่และที่ใช้งานแล้วมีปริมาณของ Al<sub>2</sub>O<sub>3</sub> เป็นองค์ประกอบหลักที่ 78.4 % - 78.6 % ในส่วนของโลหะตัวเร่งปฏิกิริยา (Active phase) MoO<sub>3</sub> มีปริมาณอยู่ที่ 11.99 - 12.1 % และ Co<sub>2</sub>O<sub>3</sub> มีปริมาณอยู่ที่ 3.06 – 3.13 % เมื่อพิจารณาพบว่าการใช้งานตัวเร่งปฏิกิริยา Co-Mo/Al<sub>2</sub>O<sub>3</sub> เป็นเวลา 1 ปี แต่องค์ประกอบหลักกลับมีปริมาณที่เท่าๆเดิมไม่ได้สูญหายไปแสดงว่าไม่มีการเสื่อมประสิทธิภาพของตัวเร่งปฏิกิริยาในแบบ Metal Phase Transferring นั้นเอง

#### 4.1.2 การหาพื้นที่ผิวและปริมาตรโดยวิธี N<sub>2</sub> Physisorption (BET)

พื้นที่ผิว (Surface area) และ ปริมาตร (Pore volume) ของตัวเร่งปฏิกิริยา Co-Mo/Al<sub>2</sub>O<sub>3</sub> หั้งที่ใช้งานแล้วและยังไม่ได้ใช้งานได้แสดงในตารางที่ 4.3

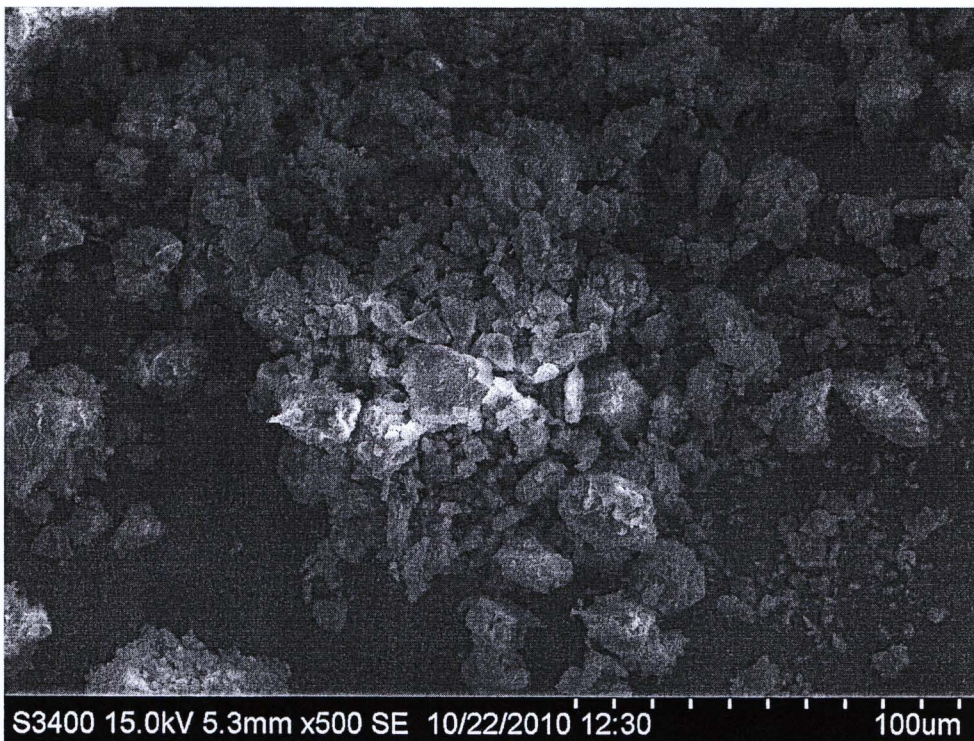
ตารางที่ 4.3 พื้นที่ผิวและปริมาตรของตัวเร่งปฏิกิริยา Co-Mo/Al<sub>2</sub>O<sub>3</sub>

Appearance	Description	Sample	
		Fresh catalyst	Used catalyst
Specific surface area	m <sup>2</sup> /g	172.13	65.04
Pore volume	cm <sup>3</sup> /g	0.33	0.17

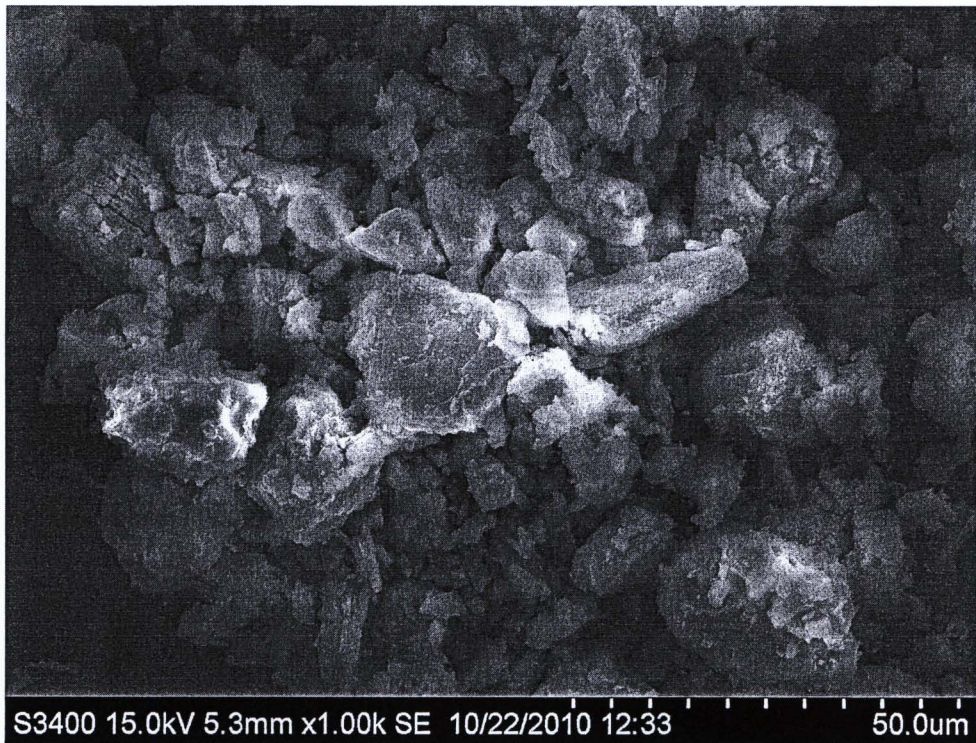
จากตารางที่ 4.3 พบว่าเมื่อเปรียบเทียบพื้นที่ผิวของตัวเร่งปฏิกิริยา เมื่อตัวเร่งปฏิกิริยาใช้งานไปเป็นเวลา 1 ปี มีพื้นที่ผิวลดลงจาก 172.13 ตารางเมตรต่อกรัม เหลือ 65.04 ตารางเมตรต่อกรัม คิดเป็นพื้นที่ผิวที่หายไป 62 เปอร์เซ็นต์ เมื่อพิจารณาถึงปริมาตรในรูปrun เมื่อตัวเร่งปฏิกิริยาใช้งานไปเป็นเวลา 1 ปี มีรูปrunลดลงจาก 0.33 ลูกบาศก์เซนติเมตร เหลือ 0.17 เซนติเมตร หรือคิดเป็นปริมาตรที่หายไป 48 % จากผลการทดลองพบว่าพื้นที่ผิวของตัวเร่งปฏิกิริยาที่ลดลงจะส่งผลให้การเกิดปฏิกิริยาน้อยลง ขนาดของปริมาตรภายในรูปrunที่น้อยลงก็ส่งผลให้มีอัตราการแพร่ผ่านของสารตั้งต้นเข้าสู่รูปrunข้างลงและส่งผลให้การเกิดปฏิกิริยาน้อยลงเช่นกัน การหาสาเหตุของการลดลงของพื้นที่ผิวและปริมาตรของตัวเร่งปฏิกิริยาต้องใช้เครื่องมือที่เหมาะสมในการดันหาต่อไป

#### 4.1.3 กล้องจุลทรรศน์อิเล็กตรอนแบบส่องกราด (SEM)

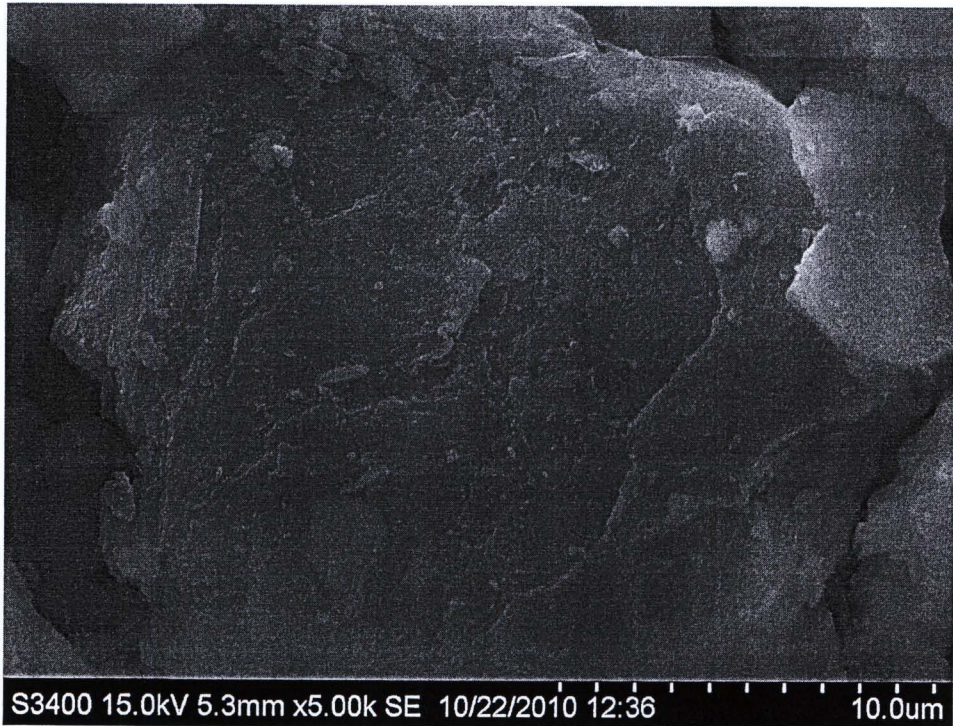
ผลการศึกษาโดยใช้กล้องจุลทรรศน์อิเล็กตรอนแบบส่องกราดพบว่าที่กำลังขยายในช่วง 500 - 1,000 เท่า ยังไม่พบความแตกต่างระหว่างตัวเร่งปฏิกิริยาที่ใช้งานแล้วเปรียบเทียบกับตัวเร่งปฏิกิริยาที่ยังไม่ได้ใช้งาน แต่เมื่อเพิ่มกำลังขยายไปที่ 5,000 – 30,000 เท่า จะพบความแตกต่างที่เกิดขึ้นอย่างชัดเจนกล่าวคือในส่วนของตัวเร่งปฏิกิริยาที่ผ่านการใช้งานมาแล้วจะมีผลึกบางอย่างเคลื่อนย้ายบางบริเวณผิวของตัวเร่งปฏิกิริยา ในขณะที่ตัวเร่งปฏิกิริยาที่ยังไม่ได้ใช้งานจะไม่พบผลึกดังกล่าว ซึ่งผลึกนิดนี้เราเรียกว่า superficial layers [10]



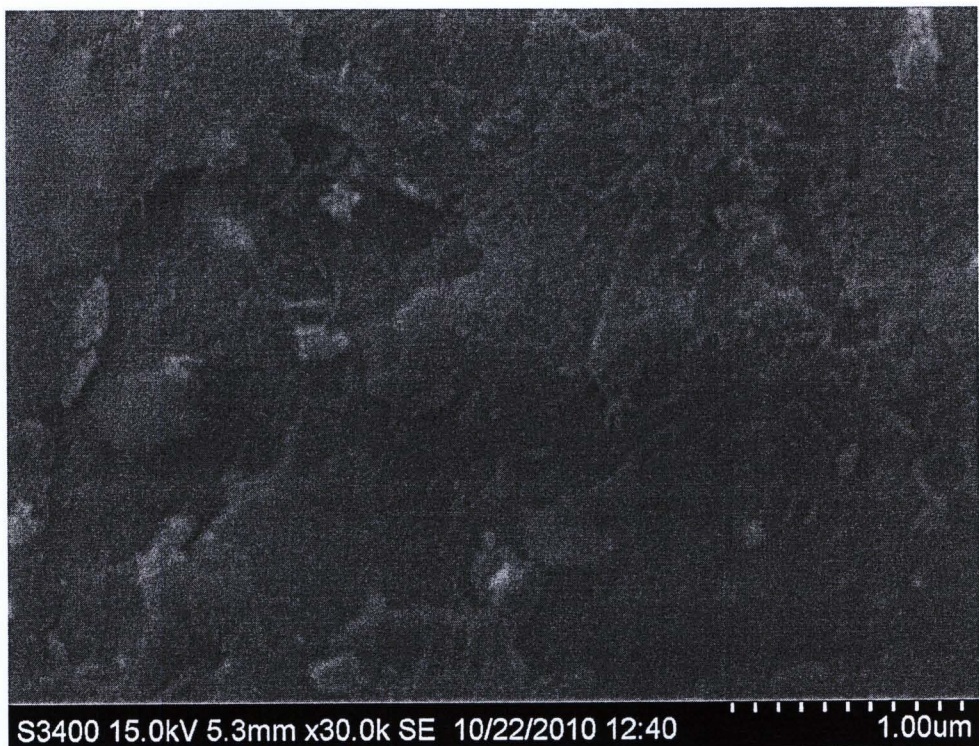
รูปที่ 4.1 ภาพถ่ายตัวเร่งปฏิกิริยาที่ยังไม่ได้ใช้งานจาก SEM ด้วยกำลังขยาย 500 เท่า



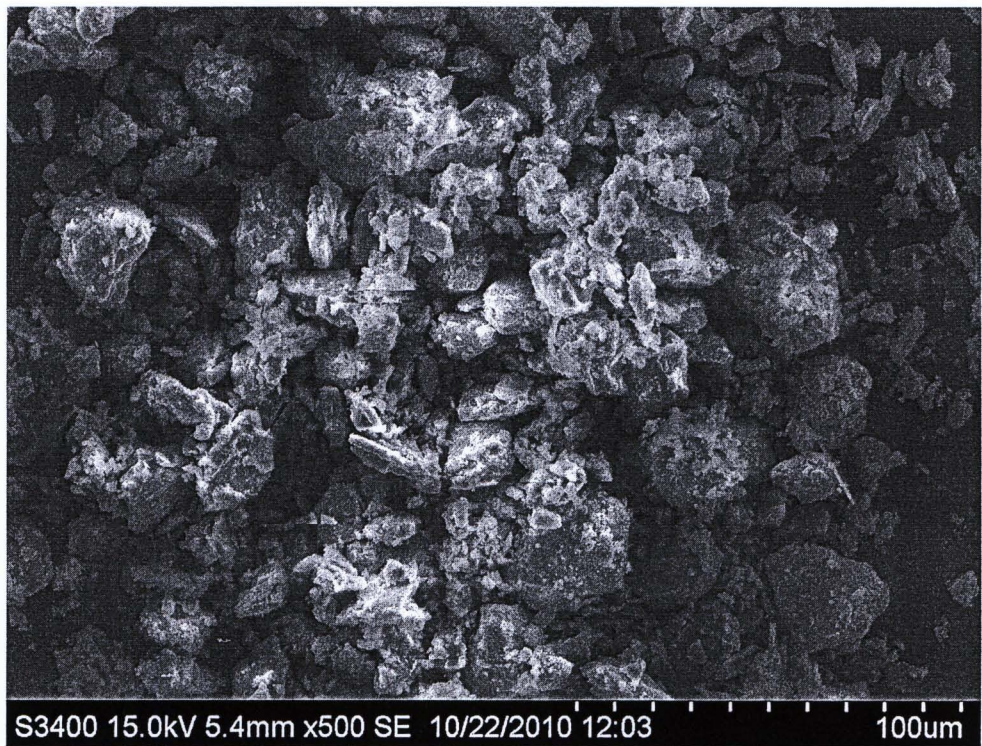
รูปที่ 4.2 ภาพถ่ายตัวเร่งปฏิกิริยาที่ยังไม่ได้ใช้งานจาก SEM ด้วยกำลังขยาย 1000 เท่า



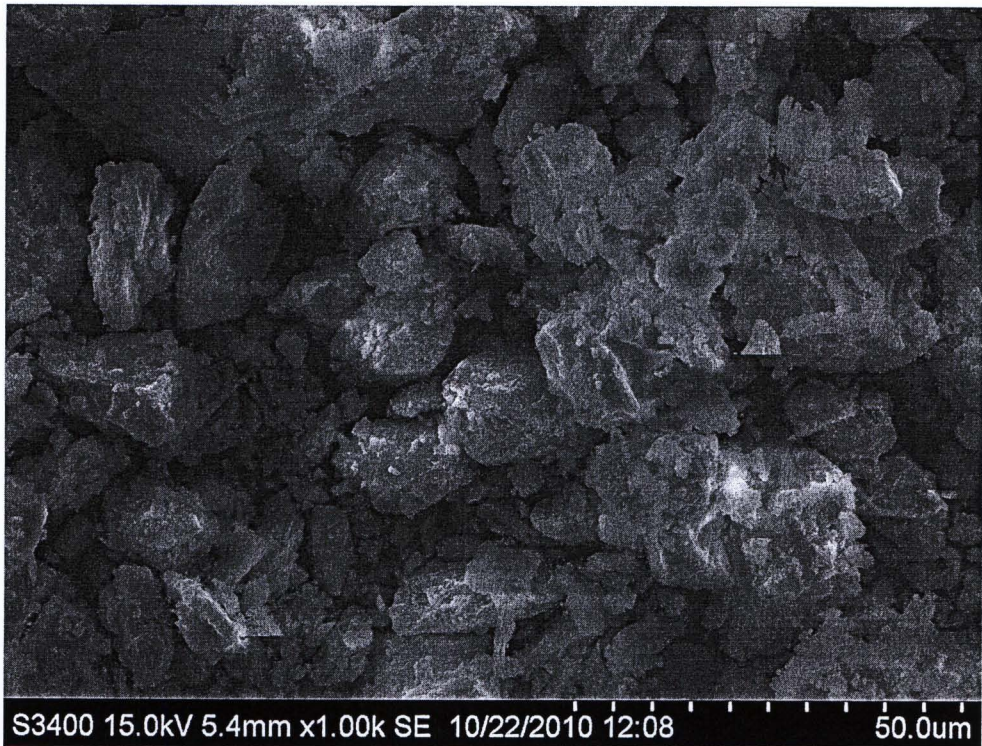
รูปที่ 4.3 ภาพถ่ายตัวเร่งปฏิกิริยาที่ยังไม่ได้ใช้งานจาก SEM ด้วยกำลังขยาย 5000 เท่า



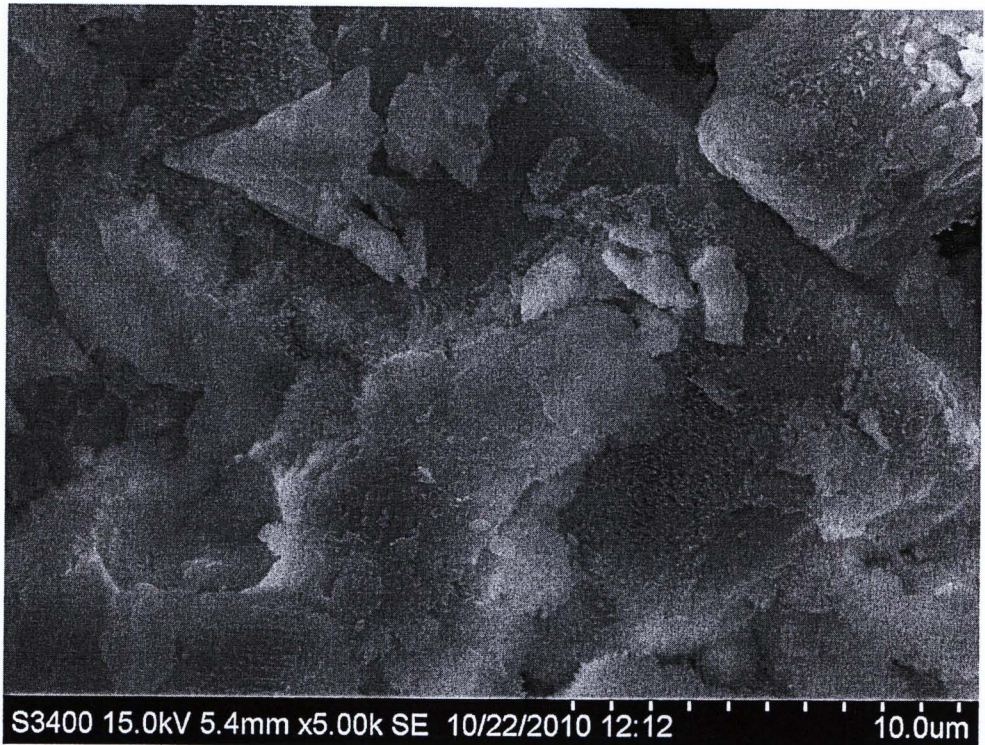
รูปที่ 4.4 ภาพถ่ายตัวเร่งปฏิกิริยาที่ยังไม่ได้ใช้งานจาก SEM ด้วยกำลังขยาย 30000 เท่า



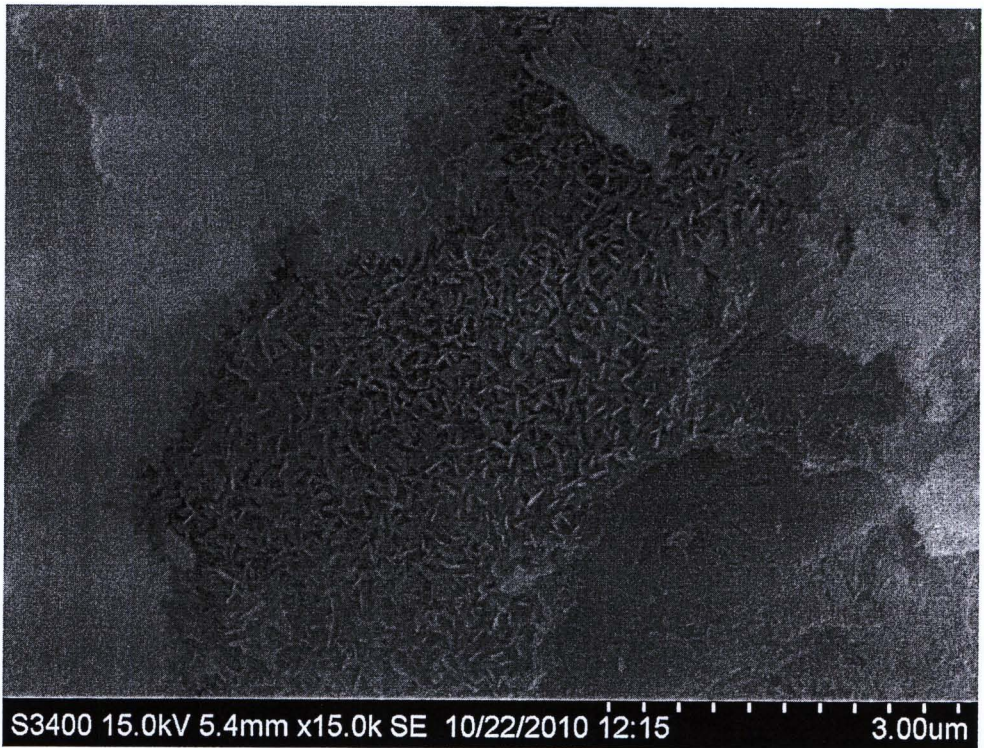
รูปที่ 4.5 ภาพถ่ายด้วยเร่งปฏิกิริยาผ่านการใช้งานแล้วจาก SEM ด้วยกำลังขยาย 500 เท่า



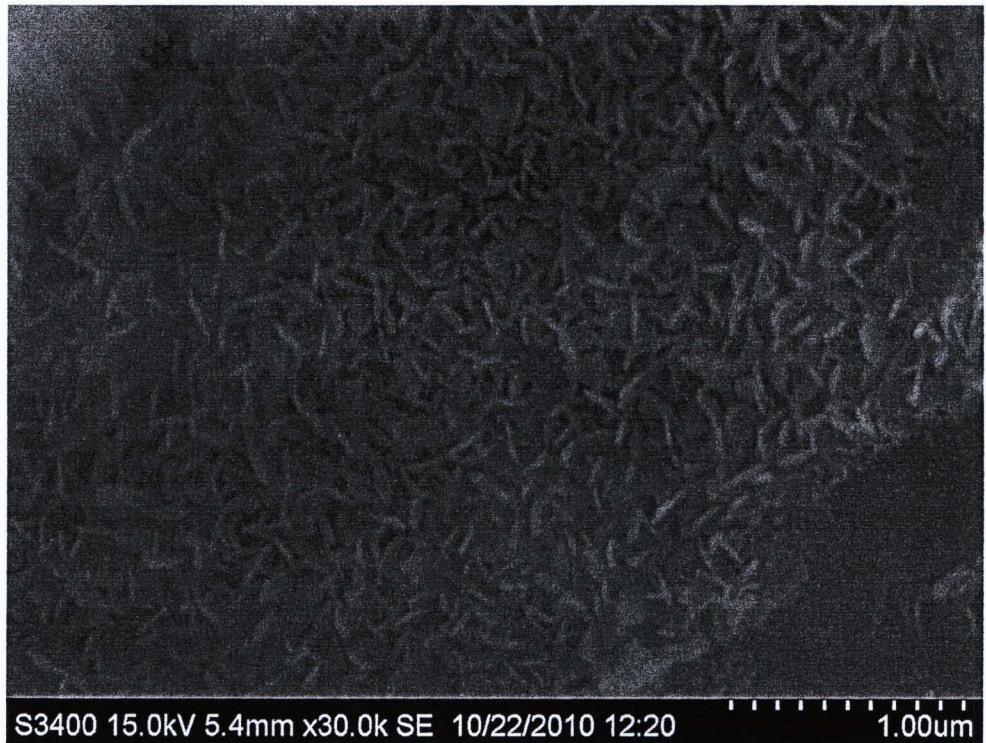
รูปที่ 4.6 ภาพถ่ายด้วยเร่งปฏิกิริยาผ่านการใช้งานแล้วจาก SEM ด้วยกำลังขยาย 1000 เท่า



รูปที่ 4.7 ภาพถ่ายตัวเร่งปฏิกิริยาผ่านการใช้งานแล้วจาก SEM ด้วยกำลังขยาย 5000 เท่า



รูปที่ 4.8 ภาพถ่ายตัวเร่งปฏิกิริยาผ่านการใช้งานแล้วจาก SEM ด้วยกำลังขยาย 15000 เท่า



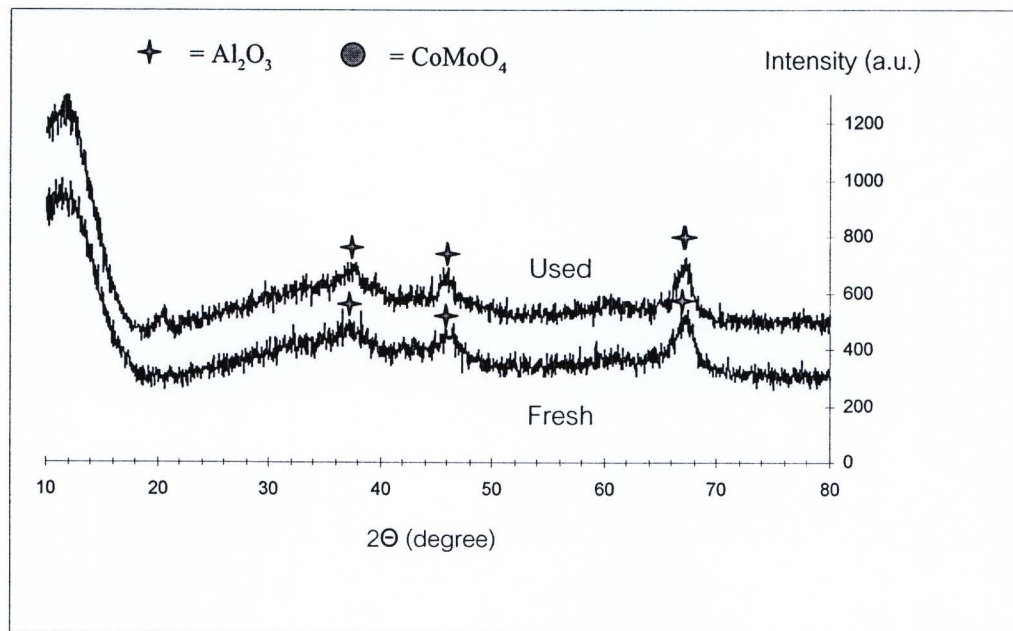
รูปที่ 4.9 ภาพถ่ายตัวเร่งปฏิกิริยาผ่านการใช้งานแล้วจาก SEM ด้วยกำลังขยาย 30000 เท่า

สำหรับผลลัพธ์ที่เราเรียกว่า Superficial layers นั้นเกิดขึ้นบนตัวเร่งปฏิกิริยาหลังจากใช้งานเป็นเวลา 1 ปี ซึ่งผลลัพธ์กล่าวเป็นสารประกอบที่หับซ้อนจำเป็นต้องใช้เครื่องมือที่เหมาะสมในการค้นหาว่าผลลัพธ์กล่าวเป็นสารประกอบชนิดใด

#### 4.1.4 เครื่องวิเคราะห์ผลึก (XRD)

จากราฟเปรียบเทียบระหว่างตัวเร่งปฏิกิริยาที่ใช้งานแล้วและยังไม่ได้ใช้งานพบว่าที่บริเวณ  $2\Theta = 37^\circ$ ,  $46^\circ$  และ  $68^\circ$  ปรากฏพีคขึ้นทั้งสองตัวอย่าง ซึ่งพีคทั้ง 3 อันนี้เป็นผลึกของตัวรองรับแกรมมาอะลูมินา ( $\gamma$ -  $\text{Al}_2\text{O}_3$ ) [14] ในขณะที่บริเวณ  $2\Theta = 19^\circ$  นั้นจะมีพีคที่ปรากฏเฉพาะตัวเร่งปฏิกิริยาที่ผ่านการใช้งานแล้ว ซึ่งพีคดังกล่าวเป็นผลึกของ  $\text{CoMoO}_4$  [14]

ดังนั้นจึงสรุปได้จากการทดลองนี้ว่าตัวเร่งปฏิกิริยา  $\text{Co-Mo}/\text{Al}_2\text{O}_3$  เกิดสารประกอบใหม่ขึ้นมาได้แก่  $\text{CoMoO}_4$  ซึ่งถือว่าเป็นการเสื่อมสภาพประทุมการหลอมรวมของโลหะ (Sintering) โดยการหลอมรวมของโลหะเกิดขึ้นได้จากอุณหภูมิที่สูงเกินไปในการทำปฏิกิริยา [10]



รูปที่ 4.10 X-Ray Diffractogram ของตัวเร่งปฏิกิริยา  $\text{Co-Mo}/\text{Al}_2\text{O}_3$

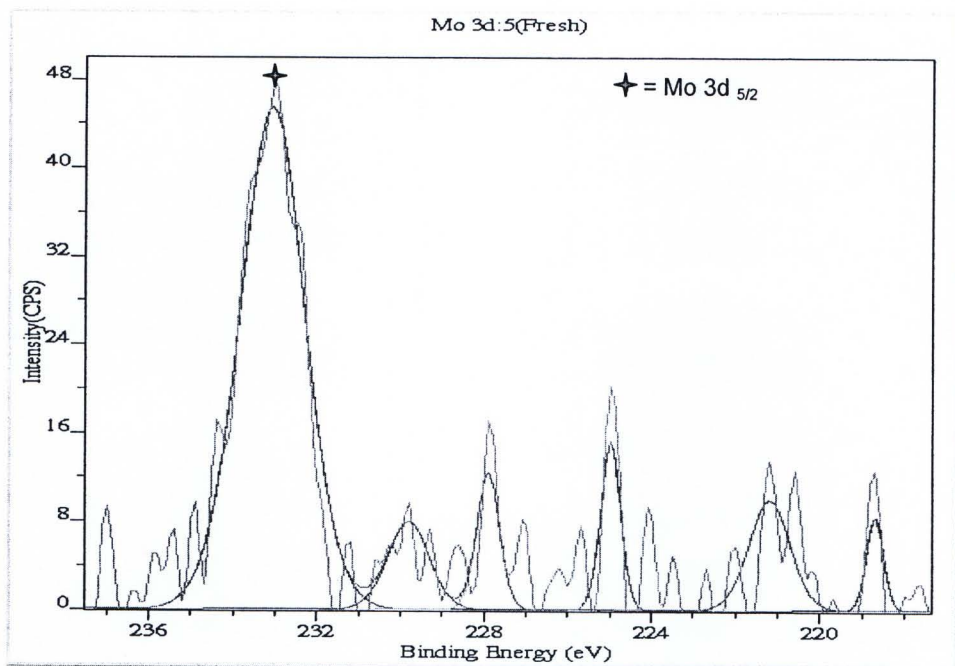
#### 4.1.5 เครื่องเอกซเรย์ฟอโตอิเล็กตรอนสเปกต์โรสโคปี (XPS)

เครื่องมือ XPS ใช้สำหรับวิเคราะห์องค์ประกอบทางเคมีที่ผิวชั้นนอกของตัวเร่งปฏิกิริยา Co-Mo/Al<sub>2</sub>O<sub>3</sub> โดยพันธะระหว่าง โคบอลต์, โมลิบดีนัม, อะลูมินา และธาตุอื่นๆ สามารถวิเคราะห์ได้ด้วยวิธีนี้ ซึ่งผลการทดลองจะแสดงในรูปที่ 4.11 - 4.14 โดยพิกที่มีนัยสำคัญจะถูกคัดกรองโดยใช้เทคนิค Deconvolution

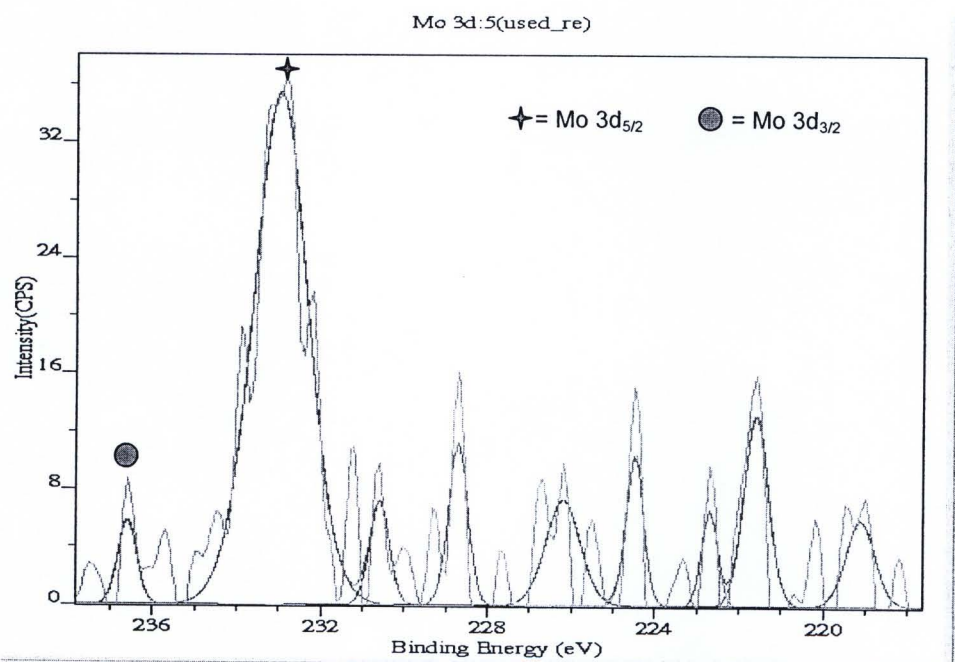
รูปที่ 4.11 จะแสดงพลังงานพันธะ (Binding energy) ที่โมลิบดีนัมปลดปล่อยออกมานอก ตัวเร่งปฏิกิริยาที่ยังไม่ได้ใช้งาน และในรูปที่ 4.12 จะแสดงพลังงานพันธะที่โมลิบดีนัมปลดปล่อยออกมานอกตัวเร่งปฏิกิริยาที่ผ่านการใช้งานแล้ว จุดที่พิกมีความแตกต่างกันซึ่งกันมีด้วยกัน 2 จุด ได้แก่ ที่ Binding Energy = 236.4 eV ซึ่งหมายถึง Mo 3d<sub>3/2</sub> และที่ Binding Energy = 232.5 eV ซึ่งหมายถึง Mo 3d<sub>5/2</sub> [10]

การที่พิกเกิดความแตกต่างจากอัตราของโมลิบดีนัมนั้น เนื่องมาจากการเปลี่ยนแปลงเฟสทรายตัวของโลหะหลังการใช้งานตัวเร่งปฏิกิริยาไปแล้ว กล่าวคือในตัวเร่งปฏิกิริยาที่ยังไม่ได้ใช้งานจะมีสารประกอบ CoO ซึ่งมีประจุของโคบอลต์คือ Co<sup>+2</sup> และสารประกอบ MoO<sub>3</sub> ซึ่งมีประจุของโมลิบดีนัมคือ Mo<sup>+6</sup> กระจายตัวอยู่บนตัวรองรับ Al<sub>2</sub>O<sub>3</sub> แต่เมื่อตัวเร่งปฏิกิริยาถูกใช้งานไประยะเวลานึงภายใต้สภาวะที่ไม่เหมาะสม ทำให้เกิดสารประกอบชนิดใหม่คือ CoMoO<sub>4</sub> [10] ซึ่งประจุของโคบอลต์ คือ Co<sup>+2</sup> และประจุของโมลิบดีนัมคือ Mo<sup>+5</sup> และส่งผลต่อการคายพลังงานที่เปลี่ยนไปซึ่งสามารถตรวจวัดค่าพลังงานได้จากเครื่องเอกซเรย์ฟอโตอิเล็กตรอนสเปกต์โรสโคปี

ดังนั้นจึงสรุปได้จากการทดลองนี้ว่าตัวเร่งปฏิกิริยา Co-Mo/Al<sub>2</sub>O<sub>3</sub> เกิดสารประกอบ CoMoO<sub>4</sub> ขึ้น ซึ่งถือว่าเป็นการเสื่อมสภาพประเภทการหลอมรวมของโลหะ (Sintering) นั่นเอง



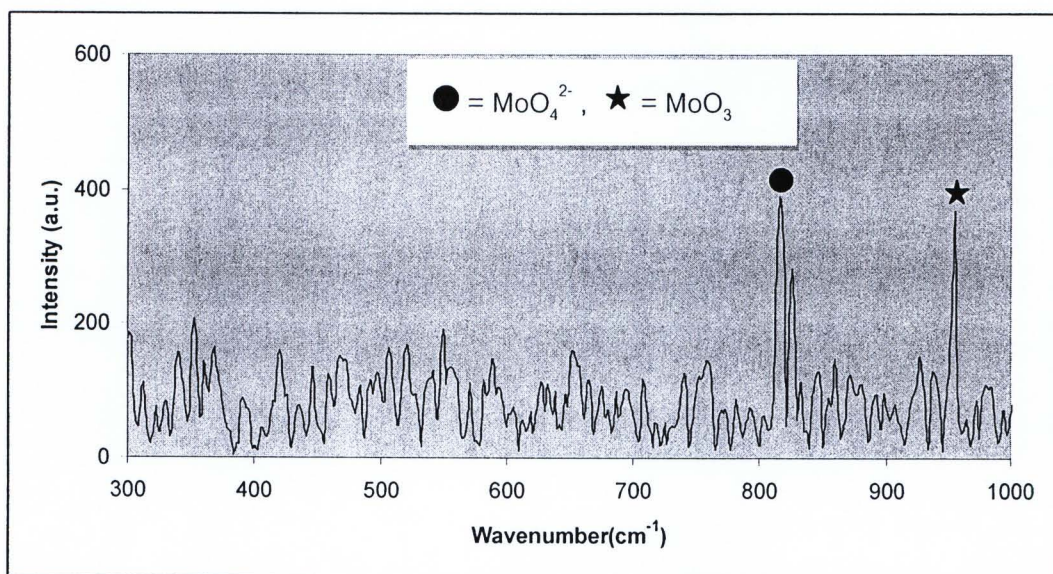
รูปที่ 4.11 ผล XPS ต่อตัวเร่งปฏิกิริยา Co-Mo/Al<sub>2</sub>O<sub>3</sub> ที่ยังไม่ได้ใช้งานในช่วงของ Molybdenum



รูปที่ 4.12 ผล XPS ต่อตัวเร่งปฏิกิริยา Co-Mo/Al<sub>2</sub>O<sub>3</sub> ที่ผ่านการใช้งานแล้วในช่วงของ Molybdenum

#### 4.1.6 เครื่องรaman สเปกต์โรสโคปี (Raman Spectroscopy)

การศึกษาของค์ประกอบที่อยู่ในตัวเร่งปฏิกิริยาด้วยเครื่องมือ Raman Spectroscopy ในตัวเร่งปฏิกิริยา Co-Mo/Al<sub>2</sub>O<sub>3</sub> ที่ยังไม่ใช้งานพบพีค 2 จุด คือ Wave number = 820 cm<sup>-1</sup> คือสาร MoO<sub>4</sub><sup>2-</sup> [17] และที่ Wave number = 941 cm<sup>-1</sup> คือสาร MoO<sub>3</sub> [18] ในส่วนทางด้านของตัวเร่งปฏิกิริยาที่ใช้งานแล้ว เมื่อนำเข้าไปทดสอบพบว่าเกิดการลูกไหมเมื่อเพิ่มพลังงานเข้าไปในระหว่างการทดลองจึงไม่สามารถทราบผลการทดลองได้ ดังนั้นในการทดลองนี้จึงไม่สามารถเปรียบเทียบผลการทดลองระหว่างตัวเร่งปฏิกิริยาที่ใช้งานแล้วและยังไม่ได้ใช้งานได้

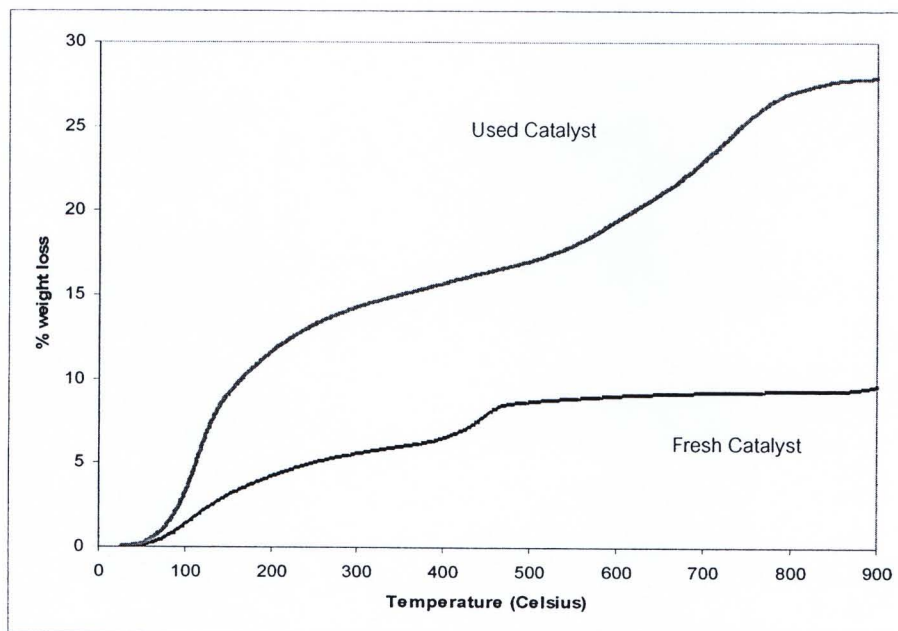


รูปที่ 4.13 ผลรaman สเปกต์โรสโคปี ต่อตัวเร่งปฏิกิริยา Co-Mo/Al<sub>2</sub>O<sub>3</sub> ที่ยังไม่ได้ใช้งาน

จากการทดลองด้วยเทคนิคต่างๆทำให้ทราบว่าในตัวเร่งปฏิกิริยา Co-Mo/Al<sub>2</sub>O<sub>3</sub> ที่ใช้งานแล้วในระบบบำบัดกําชีใช้เน่าเป็นเวลา 1 ปี พบรารประกอบขึ้นใหม่ได้แก่ CoMoO<sub>4</sub> (XPS, XRD) ซึ่งสารประกอบเหล่านี้เป็นการเสื่อมประสิทธิภาพแบบ sintering [10,13] ซึ่งปัจจัยหลักที่ทำให้เกิดการเสื่อมประสิทธิภาพได้แก่ความร้อนในการทำปฏิกิริยาสูงเกิน 500 องศาเซลเซียส [14]

#### 4.1.7 เครื่องศึกษาการเปลี่ยนแปลงน้ำหนักอาศัยคุณสมบัติทางความร้อน (TGA)

การศึกษาของค์ประกอบที่อยู่ในตัวเร่งปฏิกิริยาด้วยเครื่องมือ Thermogravimetric Analysis (TGA) ในตัวเร่งปฏิกิริยา Co-Mo/ $\text{Al}_2\text{O}_3$  ได้ผลดังรูปที่ 4.14



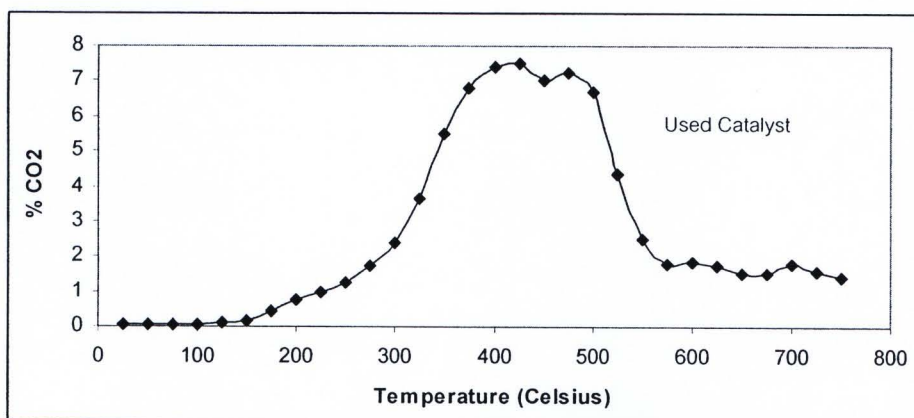
รูปที่ 4.14 ผลการทดลอง TGA ต่อตัวเร่งปฏิกิริยา Co-Mo/ $\text{Al}_2\text{O}_3$

จากผลการทดลองพบว่าตัวเร่งปฏิกิริยา Co-Mo/ $\text{Al}_2\text{O}_3$  ที่ยังไม่ได้ใช้งานมีน้ำหนักที่หายไปทั้งหมดคือ 10.5 % โดยอัตราเร่งน้ำหนักที่หายไปเริ่มคงที่ที่อุณหภูมิ 450 องศาเซลเซียส ในส่วนของตัวเร่งปฏิกิริยา Co-Mo/ $\text{Al}_2\text{O}_3$  ที่ผ่านการใช้งานแล้วมีน้ำหนักที่หายไปทั้งหมดคือ 28 % โดยอัตราเร่งน้ำหนักที่หายไปเริ่มคงที่ที่อุณหภูมิ 750 องศาเซลเซียส จากการทดลองทำให้ทราบว่าตัวเร่งปฏิกิริยาที่ใช้งานแล้วน้ำหนักหายไปมากกว่าตัวเร่งปฏิกิริยาที่ยังไม่ได้ใช้งานถึง 17.5 % ซึ่งเป็นสารประกอบที่เกิดขึ้นระหว่างการใช้งานของตัวเร่งปฏิกิริยาและเป็นสาเหตุการเสื่อมประสิทธิภาพของตัวเร่งปฏิกิริยา



#### 4.1.8 เครื่องศึกษาการออกซิเดชัน (TPO)

การศึกษาผลของการออกซิเดชันของตัวเร่งปฏิกิริยา  $\text{Co-Mo}/\text{Al}_2\text{O}_3$  ด้วยอัตราการป้อนอากาศ 30 ลูกบาศก์เซนติเมตรต่อนาที อัตราการเพิ่มอุณหภูมิ 5 องศาเซลเซียสต่อนาทีที่เป็นไปดังรูป 4.14 พบว่าเมื่อมีการเพิ่มอุณหภูมิสูงขึ้นจะทำให้เกิดก๊าซคาร์บอนไดออกไซด์มากขึ้นตามลำดับโดยที่อุณหภูมิในช่วง 400 – 500 องศาเซลเซียส เป็นช่วงที่มีการเกิดก๊าซคาร์บอนไดออกไซด์มากที่สุดประมาณ 7- 7.5 % และที่อุณหภูมิ 550 องศาเซลเซียส การเกิดก๊าซคาร์บอนไดออกไซด์จะเริ่มคงที่ที่ประมาณ 1.5 % ซึ่งสามารถอธิบายได้ว่าภายในตัวเร่งปฏิกิริยาที่ใช้งานแล้วเกิดการเสื่อมประสิทธิภาพแบบ coking ซึ่งเป็นสารประกอบคาร์บอนที่เคลือบอยู่บนผิวของตัวเร่งปฏิกิริยาและสารประกอบคาร์บอนนี้สามารถเผาไหม้กับอากาศได้เมื่อเพิ่มอุณหภูมิสูงดังสมการ



รูปที่ 4.15 ผลการทดลอง TPO ต่อตัวเร่งปฏิกิริยา  $\text{Co-Mo}/\text{Al}_2\text{O}_3$  ที่ผ่านการใช้งานแล้ว

จากการทดลองทั้งหมดที่กล่าวมาทำให้ทราบว่าตัวเร่งปฏิกิริยา  $\text{Co-Mo}/\text{Al}_2\text{O}_3$  ที่ผ่านการใช้งานในระบบบำบัดหางก๊าซไข่เน่านั้น มีการเสื่อมประสิทธิภาพทั้งแบบ sintering และ coking การเสื่อมประสิทธิภาพในแบบ sintering นั้นเกิดขึ้นจากการทำปฏิกิริยาที่อุณหภูมิสูงเกินไป [8] ในขณะที่การเกิด coking นั้นเกิดจากมีสารประกอบไฮドรอคาร์บอนหลุดเข้าไปในระบบบำบัดก๊าซไข่เน่าและเกิดการเผาไหม้ไม่สมบูรณ์ในกระบวนการ Claus Process จนทำให้เกิดเขม่าขึ้น[1] การควบคุมสภาวะการทำงานของตัวเร่งปฏิกิริยา  $\text{Co-Mo}/\text{Al}_2\text{O}_3$  ให้เหมาะสมจึงมีความจำเป็นในการป้องกันการเสื่อมประสิทธิภาพของตัวเร่งปฏิกิริยานิดนี้

#### 4.2 การหาสภาวะที่เหมาะสมในการเกิดปฏิกิริยาของ Co-Mo/Al<sub>2</sub>O<sub>3</sub>

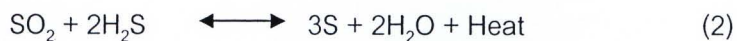
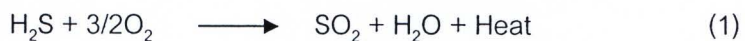
การทดลองนี้ได้เก็บตัวอย่างก๊าซก่อนเข้าทำปฏิกิริยา (input Gas) และก๊าซหลังทำปฏิกิริยา (product gas) ณ เวลาเดียวกัน ทั้งหมด 14 ครั้ง ข้อมูลขององค์ประกอบก๊าซที่ได้จากการวิเคราะห์ด้วยเครื่องมือก๊าซโดยภาพ, ปริมาณอากาศสายป้อนสู่ระบบบำบัดก๊าซไวเน่และความแตกต่างของอุณหภูมิตัวเร่งปฏิกิริยา Co-Mo/Al<sub>2</sub>O<sub>3</sub> ได้แสดงในตารางที่ 4.4

ตารางที่ 4.4 ผลการวิเคราะห์ตัวอย่างก๊าซตั้งต้นและก๊าซผลิตภัณฑ์

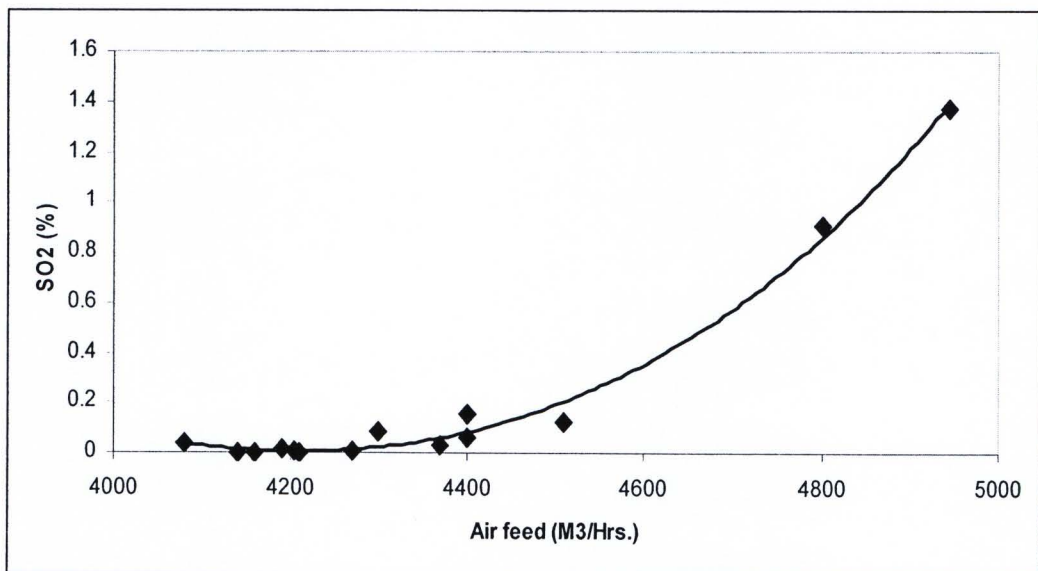
Air flow	Sample point I (input Gas)				Sample point II (product Gas)				H <sub>2</sub> S Gen.	Outlet temp.
	M <sub>3</sub> /Hrs	H <sub>2</sub> S (%)	SO <sub>2</sub> (%)	COS(%)	H <sub>2</sub> S(%)	SO <sub>2</sub> (%)	COS(%)	H <sub>2</sub> (%)		
4190	0.2965	0.1265	0.0014	1.232	0	0.02	2.3985	0.9355	33	
4300	0.7845	0.0821	0.0009	1.555	0	0.036	2.1168	0.7705	23	
4270	0.5225	0.2415	0.0015	0.9249	0	0.019	2.0382	0.4024	37	
4370	0.2955	0.3321	0.0008	1.355	0	0.0015	1.8827	1.0595	39	
4510	0.1498	0.6521	0.0011	1.433	0	0.0025	2.2429	1.2832	39	
4400	0.4117	0.3458	0.0011	1.115	0	0.0018	2.4326	0.7033	32	
4210	1.3041	0.001	0.0014	1.875	0	0.0022	3.084	0.575	18	
4140	1.1052	0.0015	0.0008	1.6887	0	0.0018	2.4556	0.5887	26	
4205	0.1562	0.9732	0.0005	1.775	0	0.0029	1.8103	1.619	43	
4943	0.0204	1.3737	0.0009	1.988	0	0.0051	0.9954	1.968	50	
4400	0.3426	0.1354	0.0011	1.087	0	0.0028	2.0607	0.7444	33	
4800	0.2121	0.9104	0.0012	1.547	0	0.0049	1.4049	1.337	40	
4080	0.6289	0.04	0.0012	1.321	0	0.0035	2.4254	0.6921	29	
4160	1.0942	0.2114	0.0021	1.21	0	0.0031	2.2227	0.1158	28	

#### 4.2.1 ความสัมพันธ์ของปริมาณอากาศกับปริมาณก๊าซชัลเฟอร์ไดออกไซด์

จากรูปที่ 4.16 พบว่าเมื่อมีการเพิ่มปริมาณอากาศเข้าไปในเตาเผาเพื่อให้เกิดปฏิกิริยาออกซิเดชันบางส่วนในระบบ Claus Process ปริมาณก๊าซชัลเฟอร์ไดออกไซด์ที่ออกจากระบบ (sample point I) จะสูงขึ้นทันทีที่ลดค่าลงกับสมการ



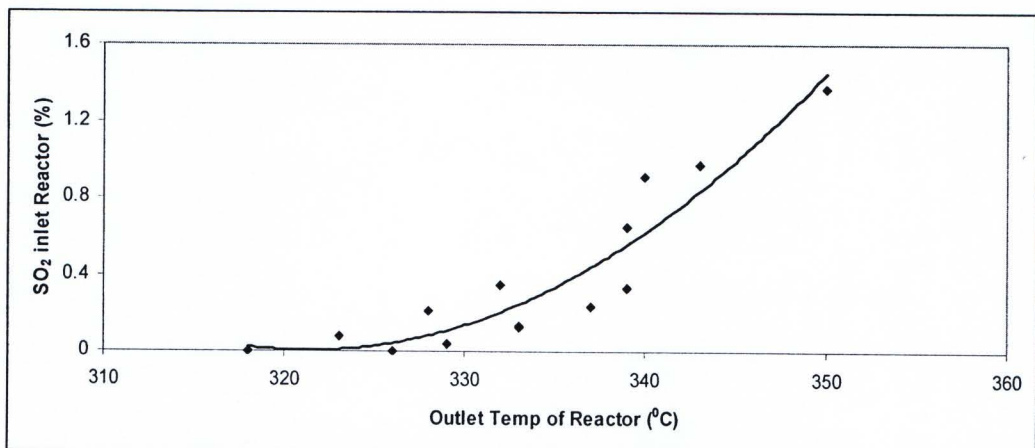
การที่มีอากาศมากเกินไปจะทำให้  $\text{SO}_2$  เกิดขึ้นมากในสมการที่ (1) และเมื่อ  $\text{SO}_2$  ที่เกิดขึ้นเข้าไปทำปฏิกิริยain สมการที่ (2) ไม่หมด จึงหลงเหลือ  $\text{SO}_2$  ในระบบนั้นเอง



รูปที่ 4.16 ความสัมพันธ์ระหว่างปริมาณอากาศที่ป้อนกับก๊าซชัลเฟอร์ไดออกไซด์

#### 4.2.2 ความสัมพันธ์ของปริมาณก๊าซชัลเฟอร์ไดออกไซด์กับอุณหภูมิตัวเร่งปฏิกิริยา

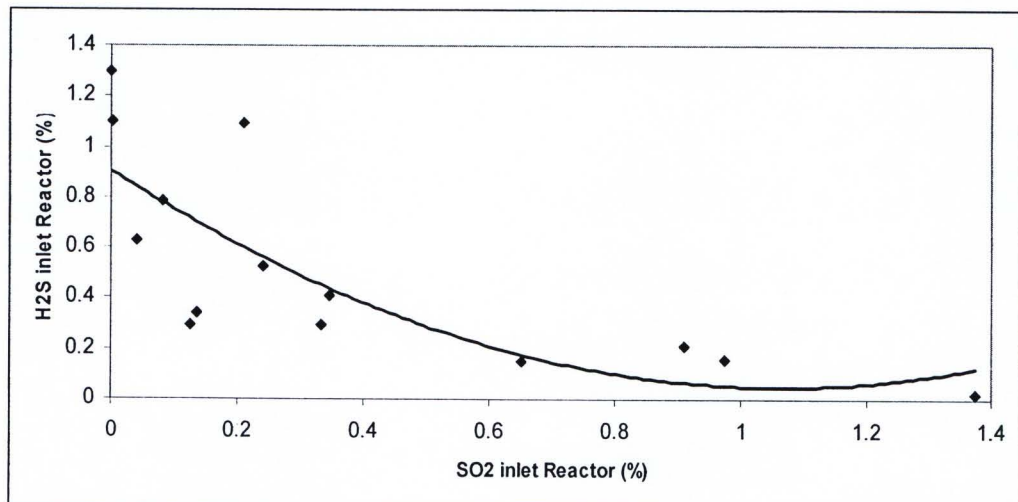
จากรูปที่ 4.17 ความสัมพันธ์แสดงให้เห็นว่า เมื่อมีปริมาณก๊าซชัลเฟอร์ไดออกไซด์ที่เข้าทำปฏิกิริยาไอลูเรจเพิ่มมากขึ้น อุณหภูมิของตัวเร่งปฏิกิริยาที่เพิ่มสูงขึ้นตามลำดับ จากบริเวณทางเข้าของตัวเร่งปฏิกิริยาที่เราควบคุมไว้คงที่ที่ 300 องศาเซลเซียส ที่บริเวณทางออกอุณหภูมิสูงขึ้นถึง 350 องศาเซลเซียสมีปริมาณ  $\text{SO}_2$  ที่เข้าทำปฏิกิริยา 1.37 % และอุณหภูมิมีแนวโน้มที่จะสูงขึ้นอีกหากเพิ่มปริมาณ  $\text{SO}_2$  ที่มากขึ้น จะเห็นได้ว่าการเพิ่มอากาศมากเกินไปที่บริเวณทางเข้าของระบบบำบัดก๊าซไออกไซด์ทำให้  $\text{SO}_2$  ในระบบมากขึ้นแล้วยังส่งผลต่อการเพิ่มอุณหภูมิของตัวเร่งปฏิกิริยา Co-Mo/ $\text{Al}_2\text{O}_3$  โดยตรงอีกด้วย



รูปที่ 4.17 ความสัมพันธ์ก๊าซชัลเฟอร์ไดออกไซด์กับอุณหภูมิทางออกตั้งปฏิกิริย

#### 4.2.3 ความสัมพันธ์ของปริมาณก๊าซชัลเฟอร์ไดออกไซด์กับก๊าซไฮโดรเจน ( $H_2S$ ) ทางเข้า

จากรูปที่ 4.18 แสดงถึงแสดงความสัมพันธ์ระหว่างก๊าซชัลเฟอร์ไดออกไซด์กับก๊าซไฮโดรเจน ชัลไฟลด์ก่อนเข้าทำปฏิกิริยาในengงปฏิกิริยาน พบร่วมปริมาณก๊าซทึ้งคุณภาพผันกันที่ปริมาณก๊าซชัลเฟอร์ไดออกไซด์มากๆจะไม่พบก๊าซไฮเดรเจนเลย อย่างไรก็ตามหากก๊าซชัลเฟอร์ไดออกไซด์มีปริมาณมากเข้าสู่engงปฏิกิริยานจะเปลี่ยนรูปถ่ายเป็นก๊าซไฮเดรเจนอีกรังดังสมการ (3)

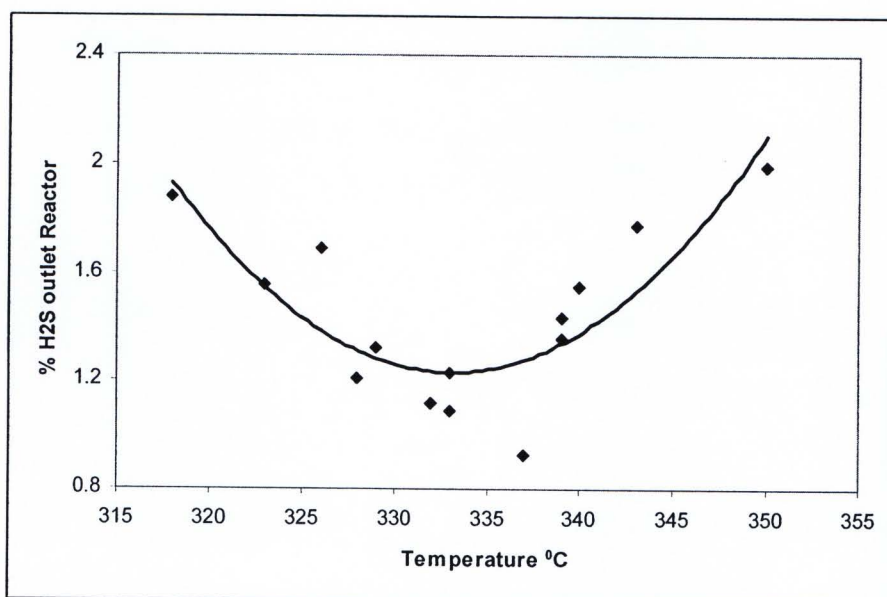


รูปที่ 4.18 ความสัมพันธ์ก๊าซชัลเฟอร์ไดออกไซด์กับก๊าซไฮโดรเจนชัลไฟลด์ที่ทางเข้า

#### 4.2.4 ความสัมพันธ์ของก๊าซไฮเดรต ( $H_2S$ ) ที่ทางออกกับอุณหภูมิของตัวเร่งปฏิกิริยา

จากรูปที่ 4.19 แสดงความสัมพันธ์ระหว่างปริมาณก๊าซไฮเดรตที่ทางออกกับอุณหภูมิของตัวเร่งปฏิกิริยา โดยก๊าซไฮเดรตที่ทางออกนั้นคือผลรวมระหว่างก๊าซไฮเดรตที่เข้ามายังถังปฏิกิริยานั้นและก๊าซไฮเดรตที่เกิดขึ้นจากการเปลี่ยนรูปของก๊าซชัลเพอร์ไดออกไซด์ดังสมการ (4)

$$H_2S_{out} = H_2S_{inl} + H_2S_{Gen.} \quad (4)$$



รูปที่ 4.19 ความสัมพันธ์ระหว่างก๊าซไฮเดรต ( $H_2S$ ) ที่ทางออกกับอุณหภูมิของตัวเร่งปฏิกิริยา

จากการศึกษาพบว่าประสิทธิภาพของระบบบำบัดก๊าซไฮเดรตได้จากก๊าซไฮเดรตที่ออกจากระบบ หากมีปริมาณน้อยแสดงว่าระบบสามารถบำบัดก๊าซไฮเดรตได้อย่างมีประสิทธิภาพ การควบคุมปริมาณก๊าซไฮเดรตที่ออกจากระบบมีปริมาณน้อยสามารถทำได้โดยควบคุมการเกิดปฏิกิริยา Claus Process ให้เหมาะสม การควบคุมปริมาณก๊าซไฮเดรตที่เข้าสู่ระบบ ( $H_2S_{inl}$ ) และปริมาณก๊าซไฮเดรตที่เกิดจากการเปลี่ยนรูปของชัลเพอร์ไดออกไซด์ ( $H_2S_{Gen.}$ ) ให้มีปริมาณน้อยที่สุด เป็นสิ่งสำคัญในกระบวนการนี้

จากรูปที่ 4.19 พบร่วมกับอุณหภูมิทางออกของตัวเร่งปฏิกิริยาอยู่ที่  $330^{\circ}\text{C} - 340^{\circ}\text{C}$  เป็นจุดที่เหมาะสมที่สุดในการใช้งานตัวเร่งปฏิกิริยา เพราะจะทำให้ปริมาณก๊าซไฮเดรตที่ออกจากระบบมี

ปริมาณน้ำอยที่สุดที่ 1.2-1.3 % หากควบคุมอุณหภูมิที่ต่ำเกินไปหรือสูงเกินไปจะทำให้ก๊าซไฮเนาที่ออกจากระบบมีปริมาณมาก นอกจากนั้นหากควบคุมอุณหภูมิตัวเร่งปฏิกิริยาที่สูงเกินไปหรือต่ำเกินไปอาจทำให้เกิดการเสื่อมประสิทธิภาพของตัวเร่งปฏิกิริยา  $\text{Co-Mo}/\text{Al}_2\text{O}_3$  ได้ดังที่ได้กล่าวมาแล้วในข้างต้น